

P1-2017-59

Б. Ж. Залиханов *

ПОВЫШЕНИЕ ЭФФЕКТИВНОСТИ РЕГИСТРАЦИИ
 γ -КВАНТОВ ГАЗОНАПЛНЕННЫМИ
КООРДИНАТНЫМИ КАМЕРАМИ

Направлено в журнал «Nuclear Instruments and Methods in Physics Research. Section A»

* E-mail: zalikhanov@jinr.ru

Залиханов Б. Ж.

P1-2017-59

Повышение эффективности регистрации γ -квантов
газонаполненными координатными камерами

Для эффективной регистрации рентгеновского излучения пропорциональными и дрейфовыми камерами предлагается новое положение конверторов в рабочем объеме камер. Положение и геометрические параметры конверторов полностью удовлетворяют кинематике фотоэлектрического поглощения γ -квантов атомами вещества. Предварительная экспериментальная проверка подтвердила возможность значительного повышения эффективности регистрации газонаполненными детекторами γ -излучения.

Работа выполнена в Лаборатории ядерных проблем им. В. П. Джелепова ОИЯИ.

Препринт Объединенного института ядерных исследований. Дубна, 2017

Zalikhanov B. Zh.

P1-2017-59

Improvement of Gamma-Detector of Gas-Filled Coordinate Chambers

A new arrangement of converters in the working volume of proportional and drift chambers is proposed for effective detection of X-rays. Positions and geometrical parameters of the converters entirely agree with kinematics of photoelectric absorption of gamma-rays by atoms. The preliminary experimental test confirms the possibility of significantly increasing the gamma detection efficiency of gas-filled detectors.

The investigation has been performed at the Dzhelepov Laboratory of Nuclear Problems, JINR.

ВВЕДЕНИЕ

Широкое применение газонаполненных координатных детекторов (пропорциональных и дрейфовых камер) связано в первую очередь с их исключительно высокими регистрационными свойствами, такими как временное и пространственное разрешение, высокая скорость счета, малое количество вещества на пути регистрируемых частиц. Кроме того, на их основе возможно создание детекторов с большой чувствительной площадью. Эти качества новых детекторов ядерного излучения с момента их появления привлекали к себе большое внимание. Их применение в исследованиях, проводимых с помощью рентгеновского излучения в радиобиологии, медицине, радиационной химии и физике, способствовало бы получению новых знаний. Однако низкая эффективность регистрации газонаполненных координатных детекторов в области рентгеновского излучения сильно ограничила круг проводимых исследований. Для устранения этого недостатка были приложены большие усилия. Попытки использования рыхлых наполнителей, пропитанных солями тяжелых металлов, или коллиматоров-конверторов, расположенных в газовом объеме детекторов, давали незначительный эффект. Практически такой же результат получался и в сборке камер с отдельными плоскими конверторами-катодами. К сожалению, все эти усилия не увенчались успехом. Интерес к данной проблеме и стремление к получению количественных и качественных значений для свойств исследуемого объекта с использованием газонаполненных координатных детекторов постепенно ослабли.

1. РАННИЕ РАЗРАБОТКИ ГАЗОНАПОЛНЕННЫХ КООРДИНАТНЫХ ДЕТЕКТОРОВ

Низкое поглощение рентгеновского излучения и аннигиляционных γ -квантов в газе пропорциональных и дрейфовых камер, выполняющим роль чувствительной среды, приводило к тому, что эффективность регистрации не превышала нескольких процентов в диапазоне значений энергии регистрируемых квантов 50–511 кэВ.

Решить эту проблему надеялись с помощью твердых конверторов, расположенных в чувствительном объеме детектора. Предполагалось, что наличие более плотного вещества увеличит число взаимодействий квантов, а обра-

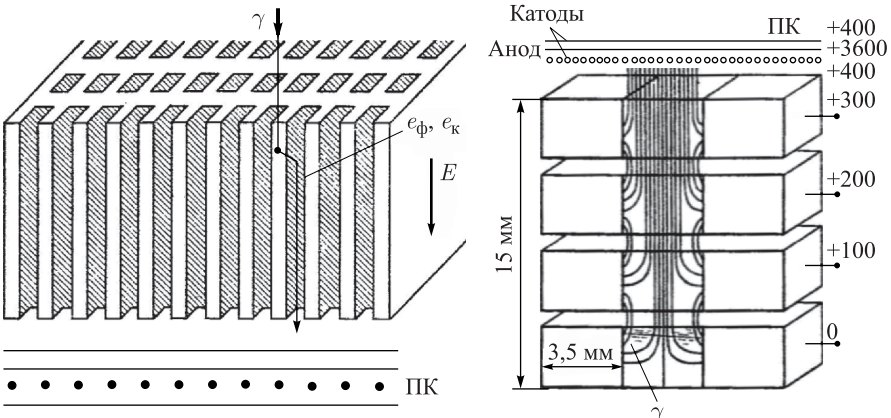


Рис. 1. Конверторы-коллиматоры для мягких γ -квантов

зующиеся при этом фотоэлектроны локализуются на анодах камеры. Были развиты два метода [1].

1. Дрейфовое пространство заполняется твердыми конверторами, имеющими каналы для получения электронов ионизации от электронов конверсии. Поле переносит электроны ионизации к анодам пропорциональной камеры, где они создают электронную лавину.

2. Катоды камеры изготавливаются из подходящего конвертора, и испускаемые ими электроны регистрируются камерой. Эффективность достигается путем использования сборки из достаточного числа камер.

В работах [2–4] для регистрации γ -квантов, образовавшихся в результате аннигиляции замедлившихся позитронов с атомными электронами среды, использовались по две пропорциональные камеры, расположенные слева и справа от области аннигиляции. Увеличение эффективности регистрации γ -квантов достигалось с помощью конверторов, расположенных по обеим сторонам каждой камеры. Конструкция конвертора и формирование дрейфового поля в сборке показаны на рис. 1. При площади камер 48×48 см² и толщине газового зазора между катодами в камере 8 мм эффективность установки составляла около 10 %, а пространственное разрешение (FWHM) 6 мм. В работах [5–7] были достигнуты лучшие результаты. В камере площадью 10×10 см² пространственное разрешение (FWHM) составляло 1,5 мм, а эффективность 15 %.

Методика, сочетающая газонаполненные камеры с твердотельными конверторами-коллиматорами, развивалась в направлении увеличения плотности отверстий. При этом диаметр отверстий и их шаг старались выполнить минимально возможными.

Сборка камер с отдельными плоскими конверторами [1, 8]. Катод изготавливается из конвертирующей фольги. Выбор оптимального материала зависит от энергии рентгеновского излучения. Эффективность при этом является функцией длины пробега конверсионных электронов в фольге катода и вероятности вылета быстрых электронов из фольги. Детектор оптимизирован на 140 кэВ рентгеновского излучения. Так как расчеты показали, что оптимальная эффективность достигается для атомного номера 50, в качестве конвертора было выбрано олово. Взяв для практического ограничения 25 камер, получили эффективность 16,5 % с фольгой толщиной 30 мкм для излучения с энергией 140 кэВ.

Не будем подробно рассматривать результаты многочисленных работ, связанных с разработкой и использованием проволочных газонаполненных камер при атмосферном давлении для прикладных целей. Отметим лишь, что достигнутая эффективность регистрации в области аннигиляционных и рентгеновских γ -квантов в диапазоне значений энергии $E_\gamma = 50\text{--}511$ кэВ не превышала 20 %. Лучшее пространственное разрешение (FWHM) составляло 1,5 мм.

Причиной неудач при создании эффективного газового детектора для регистрации γ -квантов с энергией 50–511 кэВ является несоответствие расположений конверторов с кинематикой процесса фотоэффекта. Гамма-квант в отличие от заряженной частицы не «видит» вещество, в котором движется. Чтобы взаимодействовать, ему достаточно всего одного атома, который «удачно» расположен на его пути. Поэтому он легко углубляется в вещество, откуда фотоэлектрону практически невозможно выйти. При энергии γ -квантов 50–511 кэВ образовавшиеся фотоэлектроны вылетают в ин-

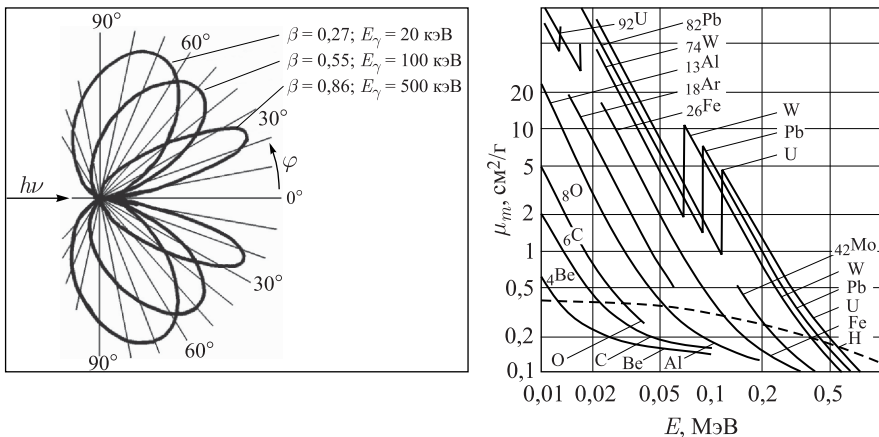


Рис. 2. *a)* Пространственное распределение фотоэлектронов. *б)* Коэффициент ослабления пучка γ -квантов в различных веществах в зависимости от его энергии

тервале углов 30° – 90° относительно направления излучения (рис. 2, а), что также способствует углублению фотоэлектрона в вещество. Удельные потери энергии фотоэлектронами в зависимости от вещества конвертора могут быть ≥ 8 кэВ/мкм. Например, при расположении конвертора перпендикулярно к направлению квантов с энергией 100 кэВ в газ детектора выйдут электроны, образовавшиеся в слое конвертора толщиной меньше 10 мкм. Фактически этот слой и является реальным конвертором. Если даже таких слоев 50, т. е. 25 камер по 2 катода в каждой [8], то общая эффективная толщина конвертора составит $0,01 \times 50 = 0,5$ мм. Для того чтобы с конверторами из олова ослабить поток рентгеновских квантов примерно в e раз и иметь эффективность ≈ 60 – 65% , суммарная эффективная толщина конверторов должна быть не менее 2 мм.

2. ПРИМЕР ВАРИАНТА ДЕТЕКТОРА

Взаимодействие γ -кванта с веществом характеризуется вероятностью его взаимодействия с атомом или с ядром вещества. В силу этих особенностей параллельный пучок γ -квантов при прохождении через толщину материала t ослабляется по экспоненциальному закону

$$n = n_0 \exp(-\mu t), \quad \text{где} \quad \mu = \sigma N \text{ см}^{-1}, \quad (1)$$

n_0 — число γ -квантов, падающих на слой толщиной t ; n — число γ -квантов с той же энергией и с тем же направлением после слоя материала; μ — линейный коэффициент ослабления с размерностью $\text{см}^2/\text{г}$; σ — сечение фотоэффекта; N — число атомов в 1 см³. Коэффициенты ослабления для различных веществ приведены на рис. 2, б [9].

Вторичные электроны, возникающие при фотоэлектрическом поглощении γ -квантов, имеют весьма характерное угловое распределение. При малых энергиях электроны вылетают в основном в направлении, перпендикулярном направлению γ -квантов; при больших же энергиях — практически вперед. Угловые распределения фотоэлектронов приведены на рис. 2, а [10].

Из физики фотоэффекта следует, что γ -квант для взаимодействия с электроном атома вещества должен проходить в нем достаточно большое расстояние. Образовавшемуся фотоэлектрону для выхода в объем рабочего газа камеры необходимо обеспечить малые пробеги в веществе конвертора. Это связано с большими ионизационными потерями электрона в конверторе. Согласно оба требования в области энергий γ -квантов 50–500 кэВ можно реализовать, если конверторы из вольфрама или рения толщиной 5–100 мкм расположить под углом 6° – 9° относительно направления излучения. Необходимое положение конвертора показано на рис. 3. Толщина конвертора определяется из переданной электрону энергии в процессе фотоэффекта и величиной ионизационных потерь электрона в материале конвертора. При

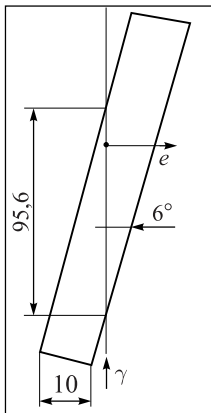


Рис. 3. Длина пути γ -кванта в конверторе. Размеры в микрометрах

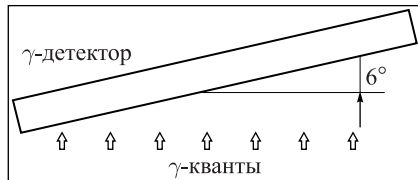


Рис. 4. Расположение детектора на пути γ -квантов

расположении конвертора под углом 6° относительно направления излучения γ -квант проходит в нем 96 мкм, а электроны, из-за пространственного распределения будут иметь пробеги в пределах толщины конвертора.

Отметим, что расположение конверторов в объеме камеры под малыми углами приведет к усложнению конструкции детектора. Будет намного проще, если конверторы установить параллельно направлению движения γ -квантов, а полностью собранный детектор расположить так, как показано на рис. 4.

Для определения пробегов электронов в различных веществах используют экстраполированный пробег, мг/см², который слабо зависит от вещества [9]. На практике для этих целей пользуются графиком для пробегов в алюминии [9], вводя поправку с помощью соотношения

$$R_X = R_{\text{Al}} \frac{(Z/A)_X}{(Z/A)_{\text{Al}}}, \quad (2)$$

где R — пробег; Z/A — отношение заряда к атомной массе для Al и элемента X . Удельные потери электронов в рении можно определить из удельных потерь электронов в кремнии [9] с помощью соотношения

$$\left(\frac{dE}{dx} \right)_{\text{Re}} = \left(\frac{dE}{dx} \right)_{\text{Si}} \cdot \frac{\rho_{\text{Re}}}{\rho_{\text{Si}}}, \quad (3)$$

где $\rho_{\text{Re}} = 21,02 \text{ г/см}^3$ и $\rho_{\text{Si}} = 2,33 \text{ г/см}^3$ — плотность рения и кремния. Удельные потери 100-кэВ электронов в кремнии равны $\approx 0,75 \text{ кэВ/мкм}$. В рении потери фотоэлектрона составят 6,8 кэВ/мкм.

На рис. 5 показана схематическая конструкция газового координатного детектора (вид сверху). Если рисунок выполнить в масштабе и повернуть

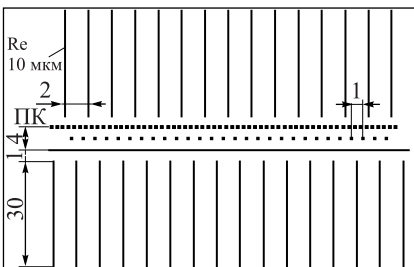


Рис. 5. Схема конструкции детектора гамма-квантов

на 6° (см. рис. 4), то будет видно, что на пути гамма-кванта при его падении на камеру всегда будут находиться четыре слоя конверторов из Re (заряд атома рения 75, плотность $21,02 \text{ г}/\text{см}^3$). Суммарная эффективная длина пробега гамма-кванта составит 383 мкм. Фольги могут быть натянуты параллельно или перпендикулярно анодным проволокам. Их длина равна длине анодных проволок либо ширине чувствительной площади камеры. При коэффициенте ослабления $\mu \approx 5,3 \text{ см}^2/\text{г}$ в рении поток гамма-квантов с энергией 100 кэВ согласно выражению (1) ослабится на 99 %.

Чтобы обеспечить дрейф электронов ионизации к аноду камеры с постоянной скоростью, конверторные слои разбиты на стрипы шириной по 5 мм. Стрипы с одинаковыми номерами в дрейфовых ячейках (рис. 6) подключаются к соответствующему месту резисторного делителя высокого напряжения.

Катодные плоскости пропорциональной камеры намотаны во взаимно-перпендикулярном направлении с шагом 0,5 мм. Они выполнены из бериллиевой проволоки диаметром 70 мкм. Проволоки катодов объединены в стрипы шириной по 3,5 мм. Индуцированные на них заряды от электронной лавины через высоковольтные конденсаторы поступают на кодировщики заряд–код. Скорость счета камеры с указанными геометрическими параметрами в газе $80\% \text{CF}_4 + 20\% \text{C}_4\text{H}_{10}$ будет равна $2 \cdot 10^6 \text{ с}^{-1} \cdot \text{см}^{-2}$ [11]. Максимальное время дрейфа электронов ионизации до анода равно 240 нс.

Предложенный вариант положения конверторов в детекторе проверялся на небольшом макете с чувствительной площадью 32×150 мм. В качестве конвертора использовалась фольга из рения толщиной 10 мкм. Дрейфовые ячейки макета в количестве 2×16 штук и их размеры аналогичны схеме детектора, показанного на рис. 6. Камера продувалась газом $80\% \text{CF}_4 + 20\% \text{C}_4\text{H}_{10}$, а в качестве источника гамма-квантов использовался ^{241}Am . Поток гамма-квантов контролировался сцинтилляционным счетчиком с цилиндрическим кристаллом NaI(Te) диаметром 30 мм. Были получены следующие результаты:

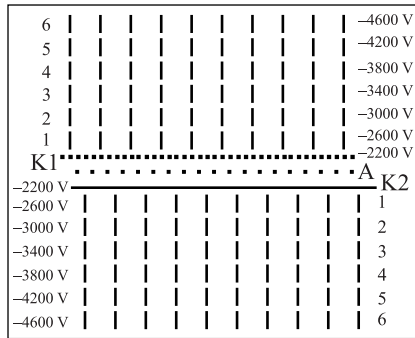


Рис. 6. Разбиение конверторов на дрейфовые ячейки

эффективность камеры без конверторов составила 9,5 %, с конверторами — 69 %. Следует отметить, что полученные результаты не являются окончательными, так как для максимальной энергии γ -квантов, равной 59,5 кэВ, от источника ^{241}Am толщина используемого конвертора больше требуемой более чем в полтора раза и часть фотоэлектронов не могли выйти из конверторов.

Таким образом, из полученных результатов следует, что новое положение конверторов и их структура действительно повышают эффективность регистрации γ -квантов.

ЛИТЕРАТУРА

1. Charpak G. Application of Proportional Chambers to Some Problems in Medicine and Biology // Nucl. Instr. Meth. 1978. V. 56. P. 1.
2. Lim C. B. et al. // IEEE Trans. Nucl. Sci. 1974. NS-21 (1). P. 85.
3. Lim C. B. et al. // IEEE Trans. Nucl. Sci. 1975. NS-22 (1). P. 388.
4. Hattner R. S. et al. // IEEE Trans. Nucl. Sci. 1976. NS-23 (1). P. 523.
5. Jeavons A. P., Charpak G., Stubbs R. J. // Nucl. Instr. Meth. 1975. V. 124. P. 491.
6. Jeavons A. P., Gate C. // IEEE Trans. Nucl. Sci. 1976. NS-23 (1). P. 640.
7. Jeavons A. P. et al. A High Resolution Proportional Chamber Camera and Its Applications. CERN DD 77-15, 1977.
8. Bateman J. E., Connolly J. F. A MWPC Gamma Camera for Imaging $^{99\text{m}}\text{Tc}$ Radionuclide Distributions. RL 77-031/B, 1977.
9. Бабичев А. П. и др. Физические величины. М.: Энергоатомиздат, 1991.
10. Калашникова В. И., Козодаев М. С. Детекторы элементарных частиц. М.: Наука, 1966.
11. Gushcin E. M. et al. Fast Beam Chambers of the Set-Up ISTRA-M // Nucl. Instr. Meth. A. 1991. V. 351. P. 345.

Получено 28 августа 2017 г.

Редактор *E. B. Сабаева*

Подписано в печать 14.09.2017.

Формат 60 × 90/16. Бумага офсетная. Печать офсетная.
Усл. печ. л. 0,63. Уч.-изд. л. 0,96. Тираж 255 экз. Заказ № 59232.

Издательский отдел Объединенного института ядерных исследований
141980, г. Дубна, Московская обл., ул. Жолио-Кюри, 6.

E-mail: publish@jinr.ru
www.jinr.ru/publish/